

# COMPLEX\_SYSTEM\_NOTEBOOK

April 29, 2022

## 1 Physiques des Systèmes Complexes

---

```
[ ]: np, pylab as
plt import scipy.sparse
as sp from scipy.spatial
import distance as dist
import networkx as nx
import scipy.integrate
as integrate from sympy.solvers
```

**Avis/Reflexion personnelle :** Pourquoi, “moi”, je trouve les problemes physiques et leur modélisation mathématiques “Belle” ?

### 1.1 Principe généraux

Le concept de mesure est une généralisation et une formalisation des mesures géométriques (distance/longueur, aire, volume) et d’autres notions courantes, telles que la masse et la probabilité des événements. Les mesures sont fondamentales dans la théorie des probabilités, la théorie de l’intégration et peuvent être généralisées pour prendre des valeurs négatives, comme pour la charge électrique. Les généralisations de mesure de grande envergure sont largement utilisées en physique quantique et en physique en général. On défini la mesure comme une application tel que l’union des famille dénombrable est égale à la somme des mesure disjointes :

$$\mu \left( \bigcup_{k=1}^{\infty} E_k \right) = \sum_{k=1}^{\infty} \mu(E_k)$$

Le théorème de Vaschy-Buckingham ou théorème Pi, est un des théorèmes de base de l’analyse dimensionnelle. Ce théorème établit que si une équation physique met en jeu  $n$  variables physiques, celles-ci dépendant de  $k$  unités fondamentales, alors il existe une équation équivalente mettant en jeu  $n - k$  variables sans dimension construites à partir des variables originelles. Dans ce cas, on cherche à résoudre l’équation  $f = 0$ , tel que les variables sans dimensions  $\pi$  soit le produit des variables physiques  $q$ .

$$\begin{aligned} f(q_1, q_2, \dots, q_n) &= 0 \\ F(\pi_1, \pi_2, \dots, \pi_p) &= 0 \\ \pi_i &= q_1^{a_1} q_2^{a_2} \dots q_n^{a_n} \end{aligned}$$

```
[ ]: # find polynomial (sympy method) pi
= solve(Symbol('x')**2
- 1, Symbol('x'))
# find polynomial (sympy method) g
= lambda x : (x^a).(x^b).(x^c).(x^d)
pi = fsolve(g,
[1, 1])
```

## 1.2 Mouvements individuels et collectifs

Un choc élastique est un choc entre deux corps qui n'entraîne pas de modification de leur état interne, notamment de leur masse. Dans un tel choc, l'énergie cinétique est conservée. Dans notre cas, nous considérons un ensemble de  $N$  corps (des billes) en collision dans un système isolé (pas d'échange avec l'extérieur), ce qui implique que les résultantes des collisions entre les parois sont symétriques. Sans collision, le mouvement des billes suit une trajectoire rectiligne uniforme (1er loi de Newton), mais lorsqu'il y a un impact, on a une variation des vitesses qui apparaît (2ème et 3ème loi de Newton). Pour calculer les changements de vitesse à l'impact, on utilise en coordonnée polaire  $(r, \theta)$ , les 3 lois de conservations fondamentales, tel que, la conservation du moment cinétique (ou angulaire), de la quantité de mouvement et de l'énergie cinétique :

$$\begin{cases} \vec{r}_1 \wedge m_1 \vec{v}_1 + \vec{r}_2 \wedge m_2 \vec{v}_2 = \vec{r}_1 \wedge m_1 \vec{v}'_1 + \vec{r}_2 \wedge m_2 \vec{v}'_2 \\ m_1 \vec{v}_1 + m_2 \vec{v}_2 = m_1 \vec{v}'_1 + m_2 \vec{v}'_2 \\ m_1 v_1^2 + m_2 v_2^2 = m_1 v_1'^2 + m_2 v_2'^2 \end{cases}$$

On peut remarquer que si l'on avait un choc inélastique, une partie de l'énergie cinétique serait converti en chaleurs/rayonnement, ce qui explique que tout système tend à se refroidir (à l'échelle moléculaire). Le moment angulaire correspond à l'unique vecteur, tel que le volume du parallélépipède engendré par les deux vecteurs vitesse et de rayon donne le produit mixte  $[u, v, w] = \det(u, v, w) = (u \wedge v) \cdot w$ , on peut aussi le voir comme le vecteur engendré par une rotation (quaternion). On obtient les solutions vectorielles :

$$\begin{aligned} \vec{v}'_1 &= \vec{v}_1 - \frac{2m_2}{m_1 + m_2} \frac{\langle \vec{v}_1 - \vec{v}_2, \vec{x}_1 - \vec{x}_2 \rangle}{\|\vec{x}_1 - \vec{x}_2\|^2} (\vec{x}_1 - \vec{x}_2), \\ \vec{v}'_2 &= \vec{v}_2 - \frac{2m_1}{m_1 + m_2} \frac{\langle \vec{v}_2 - \vec{v}_1, \vec{x}_2 - \vec{x}_1 \rangle}{\|\vec{x}_2 - \vec{x}_1\|^2} (\vec{x}_2 - \vec{x}_1) \end{aligned}$$

Il est possible de faire tourner les bords, à l'image d'une centrifugeuse. L'ensemble du problème est symétrique par rotation, si l'on veut appliquer une rotation, il suffit de faire le produit :

$$R(\theta) \cdot \vec{x} = \begin{pmatrix} \cos \theta & -\sin \theta \\ \sin \theta & \cos \theta \end{pmatrix} \cdot \vec{x}$$

Cette dernière opération permet de visualiser les forces fictives, tel que la force centrifuge, ou la force de Coriolis.

```

[2]: r2, v1, v2,
m1, m2):
    # input variable M =
    m1 + m2 #
    conservation law d = np.linalg.norm(r1
    - r2)**2
    u1 = v1 -
    2*m2 / M
    * np.dot(v1-v2,
    r1-r2)
    / d * (r1
    - r2) u2
    = v2 - 2*m1
    / M * np.dot(v2-v1,
    r2-r1)
    / d * (r2
    - r1) ##
    return new velocity return np.array([u1,u2])

def border_collision(X,V):
    x,y = X
    ### update position V[0,x
    < 0] =
    -V[0,x
    < 0] V[0,x
    > 1] =
    -V[0,x
    > 1] V[1,y
    < 0] =
    -V[1,y
    < 0] V[1,y
    > 1] =
    -V[1,y
    > 1] return

```

Ici nous avons considéré un système en l'absence de champs, c'est à dire de "force" externe pouvant perturber la trajectoire de l'objet lorsqu'il est en trajectoire rectiligne uniforme. Un champ peut être la gravité, l'électromagnétisme et les autres interactions fondamentales. En mécanique classique, cela revient à ajouter une force dans l'expression du principe fondamental de la dynamique. Pour résoudre ce problème, il suffit d'intégrer la solution en temps en reécrivant la définition de la différentielle (méthodes d'Euler). En l'absence de force de frottement (ce qui est absurde à cette échelle), on obtient pour un champ quelconque variant dans l'espace :

$$m \frac{d\vec{v}}{dt} = m \vec{\Gamma}(\vec{x}) \Leftrightarrow \vec{v}_{t+1} = \vec{v}_t + dt \cdot \vec{\Gamma}(\vec{x})$$

```
[ ]: x,y = X
      # spatial (exemple) g =
      lambda x,y :
      (x*y,
      9.81 + x*y)
      G = g(x,y)
      # euler method v[0]
      += dt*G[0]
      v[1] +=
      dt*G[1]
```

Il est aussi possible que chaque corps génère un champs local, lorsque l'on fait cela, on peut faire apparaître des mouvement collectif, on parle alors de matière active. Le modele le plus simple est celui de Vicsek, où il y a des particules ponctuelles autopropulsées qui évoluent à vitesse constante et alignent leur vitesse avec celle de leurs voisins en présence de bruit.

$$v(\mathbf{r}, \Theta) = \mathbf{r}.e^{i\Theta} = \Re(v) + i\Im(v)$$

$$\Theta_i(t + \Delta t) = \langle \Theta_j \rangle_{|r_i - r_j| < R} + \eta_i(t)$$

$$\mathbf{r}_i(t + \Delta t) = \mathbf{r}_i(t) + v\Delta t \begin{pmatrix} \cos \Theta_i(t) \\ \sin \Theta_i(t) \end{pmatrix}$$

Ce modele décrit une forme d'universalité, car il permet d'étudier des phénomènes physique (cristaux liquide), biologique (essaimage, bactérie) et sociologiques (suiveur).

```
[1]: # complex U = v[0]+1j*v[1]
      # construct t+1 r =
      [] for u in
      U : d = np.absolute(u
      - U) index
      = np.where((d<Radius))[0]
      # circular mean polar_sum
      = np.sum(np.exp(1j*np.angle(U[index])))
      angle_mean = np.angle(polar_sum)
      r += [[np.cos(angle_mean),
      np.sin(angle_mean)]]
      # return new pertubate position return
      np.array(r)
```

La visualisation de particule en collision sous forme de bille est un probleme qui permet d'avoir une vue d'ensemble, une intuition de la plupart des problemes physiques classique. Elle permet de comprendre les principes de conservation, l'emergence de la notion de frottement, la pression d'un gaz, la notion de température, etc. Néanmoins, ce type d'approche intuitive ne permet pas de resoudre tout les problemes, en particulier à la complexité calculatoire, il est necessaire pour cela faire appel à d'autre niveau d'abstraction. On verra dans les 2 prochaines partie, 2 cas, l'un où l'on a transport de matière avec des réactions chimiques et l'autre où les particules formes des aggrégats.

### 1.3 Milieu continu et Transports

La diffusion de la matière désigne la tendance naturelle d'un système à rendre uniforme le potentiel chimique de chacune des espèces chimiques qu'il comporte. La diffusion chimique est un phénomène de transport irréversible qui tend à homogénéiser la composition du milieu. Dans le cas d'un mélange binaire et en l'absence des gradients de température et de pression, la diffusion se fait des régions de plus forte concentration vers les régions de concentration moindre. Le potentiel chimique, en tant que dérivée partielle d'un potentiel thermodynamique, peut être défini l'énergie libre ou par :

$$\mu_i = \left( \frac{\partial U}{\partial n_i} \right)_{V,S,n_{j \neq i}} = \left( \frac{\partial G}{\partial n_i} \right)_{P,T,n_{j \neq i}} \quad dU = -P dV + T dS + \sum_{i=1}^N \mu_i dn_i \quad G = V dP - S dT + \sum_{i=1}^N \mu_i dn_i$$

Dans notre cas, nous considérons que la diffusion  $D$  est le résultat des collisions de sphères dures où l'ensemble des mouvements donne l'homogénéisation du système global. Si l'on considère que l'on est dans un milieu sans mouvement (n'est pas un écoulement) et incompressible (n'est pas un gaz), on peut considérer un découpage du système où chaque petite boîte va avoir une interaction de transport de matière de proche en proche, on parle d'équation locale de diffusion avec un rayon d'action unitaire. Dans le cas 1D, on retrouve une forme approchée de la loi de Fick :

$$c(t+1, x_i) = h + D \sum_{r < R} c(t, x_j) = h + D(c(t, x_{i+1}) + c(t, x_{i-1}))$$

Lorsqu'on a des molécules différentes avec des interactions (réactif), il est nécessaire de construire un système d'équation pour chaque composante moléculaire. Néanmoins, on peut aussi réduire ce problème à une seule équation, dans le cas où l'on considère des boîtes "binaire", où soit elle ont une concentration maximale d'un réactif, soit l'autre, on parle alors d'automate cellulaire. On obtient l'équation actif/inactif suivante :

$$c(t+1, x_i) = \text{sign} \left[ h + \sum_k D_k \sum_{r < R_k} c(t, x_j) \right]$$

```
[3]: new_C = np.zeros(len(C))
for i in range(len(C)):
    c_i = 0
    for r,d in zip(R,D):
        d = np.linalg.norm(X
        - X[i],
        axis=1)
    c_i += d*np.sum(C[d<r])
    # add not included new_C[c]
    = np.sign(h+c_i)
```

Ici la répartition des points dans l'espace peuvent être quelconque, on pourrait très bien avoir une ligne, une répartition aléatoire, ou encore des maillages. Pour avoir un problème symétrique par translation et par rotation, on utilise des mailles conventionnelles connues aussi sous le nom de réseau

de Bravais (famille cristalline + mode de réseau). Elle est décrit dans un espace bidimensionnel par la relation de translation :

$$\mathbf{R} = n_1 \mathbf{a}_1 + n_2 \mathbf{a}_2$$

On distingue 3 familles : orthorhombique, similaire à un rectangle, quadratique, similaire à un carré et hexagonale, où l'angle est de 120°. Dans notre cas, on construit maille hexagonale d'un vecteur linéarisé contenant les coordonnées des points.

```
[ ]: p, hexagonal=False):
# hexagonal case if hexagonal
: a,b,theta
= 1,1,120
else : a,b,theta
= p # Al Kashi Theorem
H = a**2
+ b**2
- 2*a*b*np.cos(theta*np.pi/180)
# find (d,c) grid translation c
= (H**2
- b**2
- a**2)/(2*b)
d = np.sqrt(np.abs(a**2
- c**2))
# grid print(b,d,c)
grid = np.mgrid[0:N,
0:N].astype(float)
# grid transform grid[1]*=
b grid[0]*=
d grid[1,:2]
+= c/N
# return coordinate return grid.reshape(2,-1).T
```

Pour chaque point, on calcule le résultat de l'équation suivant un rayon d'action, mais dans le cas où le nombre de réactif devient trop grand, on ne peut pas utiliser l'astuce précédente et il devient compliqué de résoudre un tel système. De plus, si la taille du rayon d'action est très supérieure à la distance entre les centroides, alors les points de l'espace suivent un continuum où leur valeur ne varie pas beaucoup entre les points. Pour simplifier un tel système, on peut appliquer la méthode d'approximation des milieux continus (série de Taylor) :

$$f(x_0 + a) = f(x_0) + a \frac{df(x_0)}{dx} + \frac{a^2}{2} \frac{d^2 f(x_0)}{dx^2} + O(n)$$

Lorsqu'on remplace cette expression dans l'équation du transport discrète  $c(t+1, x_i)$ , les termes d'ordre 1 se simplifient, ce qui permet de retrouver l'équation de la diffusion. On a dans le cas d'un seul élément et suivant une seule dimension :

$$\frac{\partial c}{\partial t} = D \frac{\partial^2 c}{\partial x^2}$$

Pour résoudre cette équation différentielle, il existe 2 grandes méthodes, la première par différence finie (Euler), la seconde par les éléments finis (intégration directe). Dans notre cas, nous utilisons uniquement le schéma d'Euler, où la dérivée seconde peut se réécrire dans le cas 2D (Laplacien) de la sorte :

$$u''(x, y) = \frac{1}{h^2} \begin{bmatrix} & 1 & \\ 1 & -4 & 1 \\ & 1 & \end{bmatrix} u(x, y)$$

Concrètement, cela revient à calculer la moyenne glissante en chaque point par un noyau local (convolution). Néanmoins, il est aussi possible de résoudre directement l'équation différentielle par le passage dans l'espace propre du système. Dans le cas de la dérivée seconde à une dimension, l'équation se réécrit :

$$\frac{U_{n+1} - U_n}{dt} - \frac{1}{h^2} \begin{bmatrix} 2 & -1 & & \\ -1 & 2 & -1 & \\ & -1 & 2 & -1 \\ & & & -1 & 2 \end{bmatrix} U_n = 0 \Leftrightarrow U_{n+1} = M \cdot U_n$$

Contrairement à l'expression précédente, nous trouvons la solution en  $t + 1$  par la résolution de l'équation linéaire. Cela revient à trouver les solutions du polynôme de matrice tel que  $p(X) = \det(XI_n - A) = X^n + p_{n-1}X^{n-1} + \dots + p_1X + p_0 = 0$  (Cayley-Hamilton). La construction de la matrice  $M$  en 2D est simplement remplacée par le schéma d'Euler 2D (diagonale = 4) et est creuse, par contre, il est nécessaire de prendre en compte le cas où le problème est asymétrique.

```
[ ]: kernel=False):
    if kernel : #
        convolution kernel kernel = np.array([[0,1,0],[1,-4,1],[0,1,0]],np.float32)*dt/
        ↪ (h**2)
        # resolution LAP =
        signal.convolve2d(U,
        kernel, boundary='symm',
        mode='same')
    else : # slices method
        LAP = (U[0:-2,1:-1]
        + U[1:-1,0:-2]
        - 4*U[1:-1,1:-1]
        + U[1:-1,2:]
        + U[2:
        ,1:-1])*dt/(h**2)
    return LAP

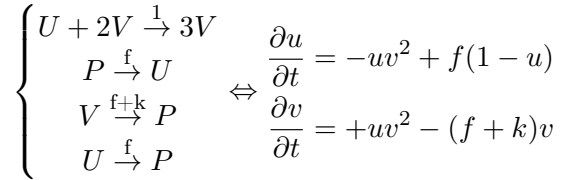
def laplacian_global(U,h,dt):
    N,M = U.shape
    U_ = np.reshape(U.T,N*M)
    # dimension choice l =
    h*(N/M)
    # diagonal construct (with border correction)
    lower = (-1/l**2)*np.ones(N*M);
    lower[N::N]
    = 0 main =
    (1/dt+2/(l**2)+2/(h**2))*np.ones(N*M)
    upper = (1/l**2)*np.ones(N*M);
    upper[N-1::N]
    = 0 # asymetric
    (if l fixed) asym = (-1/h**2)*ones(N*M)
    # matrix construction M =
    spdiags(main,[0],N*M,N*M)
    + spdiags(upper,[1],N*M,N*M)+spdiags(lower,[-1],N*M,N*M)
    M += spdiags(asym,[N],N*M,N*M)+spdiags(asym,[-N],N*M,N*M)
    # resolution new_U
    = spsolve(M,
    U) LAP = (new_U-U_).reshape(LAP)
```

Précédement on a pris uniquement en compte la diffusion de deux potentiels chimiques sans interactions. Néanmoins, il est fréquent que les espèces chimiques interagissent entre elle, on parle alors de réactifs. On cherche ainsi l'évolution de la concentration des espèces chimiques au cours du temps. L'évolution de la réaction est défini par la probabilité de collision entre 2 réactifs et où les valeurs sont obtenu empiriquement par spectroscopie. Pour le cas d'une réaction à vitesse  $k$ , soit  $2A + B \xrightarrow{k} 2C$  (exemple : 2 dihydrogène + 1 dioxygène donnant 2 molécules d'eau), l'évolution de la probabilité de collisions crit :



$$\frac{d[A]}{dx} = \frac{d[B]}{dx} = -\frac{d[C]}{dx} = -k[A]^2[B]^1$$

Dans le cas où l'on a un système de réaction chimique, il y a juste à sommer des termes croissant et décroissant des réaction. Une réaction connu est celle du modèle de Gray-Scott, où l'on a le système de réaction, avec ses equations differentielle :



Cette expression s'ajoute à l'equation de diffusion tel que  $\partial_t q = \underline{D} \Delta q + R(q)$ , avec  $R$ , les reactions locales.

```
[ ]: # grayscott uvv =
      u*v*v
# reaction Ru =
- uvv + F*(1-u)
Rv = + uvv -
(F+k)*v
```

Pour etudier les effets des différents reactifs sur leurs propres evolution, on fixe le ratio des coefficients de diffusion et on fait varier les vitesses des reactions. On obtients ainsi un diagramme des différents motifs possibles. On remarque ainsi qu'une pertubation locale ou un bruit global va former la propagation d'une instabilité. Cette instabilité va se stabiliser est former des motifs périodiques. Ainsi, du hasard on obtient une organisation spatiale structuré, néanmoins parfois, une simple perturbation peut entrainer des cycles d'instabilité à l'infini alors meme que notre systeme à été en partie grandement linéarisé. Cette notion, d'instabilité cyclique qui n'atteind jamais un equilibre est l'une des définitions de ce que l'on appelle le chaos et les fractales, ce qui est vu plus en détail dans la seconde branche.

## 1.4 Equilibre, Chaos et Fractales

Une autre facon de voir la diffusion est de le voir comme un mouvement brownien. Le mouvement brownien, est une description du mouvement d'une « grosse » particule immergée dans un fluide et qui n'est soumise à aucune autre interaction que des chocs avec les « petites » molécules du fluide environnant. Ce mouvement est décrit comme aléatoire est peut etre modélisé par une marche aléatoire telque :

$$\mathbb{P}(X_{n+1} = j \mid X_0 = i_0, X_1 = i_1, \dots, X_{n-1} = i_{n-1}, X_n = i) = \mathbb{P}(X_{n+1} = j \mid X_n = i).$$

Lorsqu'on mesure la moyenne quadratique de ce déplacement quadratique, on retrouve aussi l'expression du coefficient de diffusion  $\langle X^2(t) \rangle = 2, d, D, t$  et correspond l'énergie d'un signal. Dans ce cas particulier, on peut considérer que ces grosses par-

$$\vec{F} = q\vec{E} + q\vec{v} \wedge \vec{B} \Leftrightarrow X < R \Rightarrow X_{t+1} = X_t$$

```
[ ]: N_WALKER = (state
== 0).size
N_AGGREG = (state
== 1).size
# calculate new position of walker WAY
= 2*np.pi*(np.random.randint(0,4,N_WALKER)/4.)
VAR = delta*(np.random.random(WALKER_NUMBER)
- 0.5) Z
= np.exp(1j*(WAY
+ VAR)) X[state
== 0] +=
np.stack((Z.real,
Z.imag)).T
# distance calculation tree Dist
= dist.cdist(X[state
== 0],X[state
== 1], 'euclidean')
# network (source,target,time) tree[state==0][(Dist
< dmin).any(1)][1]
= np.where()
tree[state==0][(Dist
< dmin).any(1)][2]
= max(tree[2])+1
# change state state[state==0][(Dist
< dmin).any(1)]
= 1 return X,
```

Lorsqu'on réalise cette expérience, on obtient des formes en dendrite. Ces formes se repète par homothétie, c'est à dire que la forme finale est une transformation en un point de la forme initiale. Pour mesurer la maniere dont le motifs rempli l'espace, on ne peut ni utiliser la notion de distance, ni la notion de surface car l'une peut tendre vers l'infini et l'autre vers 0. Dans ce cas, on utilise une dimension intermédiaire, et où le degré exprime le niveau d'autosimilarité de la structure, c'est la dimension fractale. Dans le cas d'une simple homothétie avec un rapport de meme taille, on cherche à calculer :

$$a^{D_h} ; D_h = \frac{\ln(N)}{\ln(\frac{1}{r})}$$

Pour la mesurer, on calcule la distance qui sépare le centre d'agregat du nouveau point agrégé à chaque instant  $t$ . Ensuite on va calculer entre chaque temps, l'évolution du rapport de dimension. On peut démontrer que la relation est linéaire, et où la pente caractérise la dimension fractale de notre probleme, tel que :

$$C(r) \equiv N^{-1} \sum_{r'} \rho(r') \rho(r' + r)$$

Dans notre cas, nous mesurons les différentes distances qu'il y a dans l'arbre généalogique généré par les collisions d'aggrégation. Par facilité, nous mesurons le plus court chemin entre chaque point (Dijkstra) et les noeuds qui augmentent la communication entre les noeuds (indicateur de proximité).

```
[ ]: # graph G = nx.from_pandas_dataframe(tree,
      'min_dist_index',
      'initial_index')
      # position node

      # calculate topological distance SHORT_PATH
      = nx.shortest_path(G)

      # closeness
```

On obtient ainsi une distance fractale entre 1 et 2. Ici on considère que le mouvement est aléatoire est non déterministe, néanmoins, nous savons que le mouvement aléatoire est la résultante des collisions déterministe entre particule, ce qui implique qu'hormis les phénomènes quantiques de fluctuation, les problèmes sont pseudo-déterministe tendant toujours vers des états d'instabilité par augmentation de l'entropie (théorie de l'information).

$$H_b(X) = -\mathbb{E}[\log_b P(X)] = \sum_{i=1}^n P_i \log_b \left( \frac{1}{P_i} \right) = -\sum_{i=1}^n P_i \log_b P_i.$$

On peut imaginer un cas d'une molécule tri-atomique, où la première suit une trajectoire rectiligne uniforme, la seconde à un degré de liberté suivant les bords d'un stéradian du premier atome et le dernier fait la même chose avec la seconde molécule. Suivant la position initiale avec un choc, les mouvements de cette molécule peuvent s'apparenter à celui d'un double pendule. Ce problème peut se résoudre par un point de vue de minimisation de l'action d'un système : Le lagrangien d'un système dynamique est une fonction des variables dynamiques qui permet d'écrire de manière concise les équations du mouvement du système, et cela, par le principe de symétrie de Noether.

$$L = E_c - E_p = T - V \frac{d}{dt} \frac{\partial \mathcal{L}}{\partial \dot{q}_k} = \frac{\partial \mathcal{L}}{\partial q_k}$$

Ce qui donne dans le cas de coordonnées polaires  $q_k = (\vartheta_1, \vartheta_2)$ , les coordonnées de symétrie, et  $v = 1$ , la vitesse suivant la longueur d'arc (règles de la chaîne). Ce qui donne dans le cas d'un double pendule :

$$\begin{aligned} \dot{p}_{\theta_1} &= \frac{\partial L}{\partial \theta_1} = -\frac{1}{2} m l^2 \left( \dot{\theta}_1 \dot{\theta}_2 \sin(\theta_1 - \theta_2) + 3 \frac{g}{l} \sin \theta_1 \right) \\ \dot{p}_{\theta_2} &= \frac{\partial L}{\partial \theta_2} = -\frac{1}{2} m l^2 \left( -\dot{\theta}_1 \dot{\theta}_2 \sin(\theta_1 - \theta_2) + \frac{g}{l} \sin \theta_2 \right). \end{aligned}$$

On peut simplifier les fonction trigonométrique en passant par la théorie des perturbations, c'est à dire les petites perturbation (developpement limité), mais dans notre cas, nous utilisons une résolution numérique. Ce système possède des solutions périodiques décomposables en deux modes, mais il est chaotique, il ne possède des solutions ni périodiques ni pseudo-périodiques. Pour visualiser l'effet de la sensibilité au condition initiale, on peut prendre des valeurs de  $\theta$  tel que la position initiale du bout du pendule soit au dessus de la fixation et on mesure le temps qu'il faut pour que le pendule bascule vers la position du dessus. On observe que le temps caractéristique est de puissance de 10 :

$$10^\alpha \sqrt{\frac{l}{g}}$$

Nous pouvons aussi observer le portrait de phase du systeme, càd, la trajectoire du système suivant les coordonnées vitesse/position  $\dot{\theta}(\theta)$  (espace des phases). Cela permet de caractériser la présence d'un attracteur, d'un répulseur (voir nature des extremas) ou d'un cycle limite pour les valeurs de paramètres et des conditions initiales choisies.

```

[ ]: t): #
      [th1, w1, th2, w2] res = np.zeros_like(state)
      res[0] =
      state[1] #
      L1 del_ = state[2]
      - state[0]
      den1 = (M1 +
      M2)*L1 -
      M2*L1*cos(del_)*cos(del_)
      res[1] =
      (M2*L1*state[1]*state[1]*sin(del_)*cos(del_)
      + M2*G*sin(state[2])*cos(del_)
      + M2*L2*state[3]*state[3]*sin(del_)
      - (M1 +
      M2)*G*sin(state[0]))/den1
      # L2 res[2]
      = state[3]
      den2 = (L2/L1)*den1
      res[3] =
      (-M2*L2*state[3]*state[3]*sin(del_)*cos(del_)
      + (M1 + M2)*G*sin(state[0])*cos(del_)
      - (M1 +
      M2)*L1*state[1]*state[1]*sin(del_)
      - (M1 +
      M2)*G*sin(state[2]))/den2
      return res

def integrate(state,
t) res = integrate.odeint(derivs,
state, t) x1,
y1 = L1*sin(res[:,
0]), -L1*cos(res[:,
0]) x2,
y2 = L2*sin(res[:,
2]) + x1,
-L2*cos(res[:,
2]) + y1

```

On a vu dans les 2 dernières parties que les mouvements chaotiques sont très présents dans les systèmes à multi-échelle, on parle d'ailleurs pour cela d'effet Papillons. Dans les prochaines parties, on restera sur des problèmes d'échelle macroscopique, toujours avec le double pendule et aussi les problèmes de chauffages. On verra, comment décrire et contrôler un problème (1) d'abord sous forme de signal entrée/sortie, et (2), comment généraliser un problème sous forme de chaîne de décision markovienne d'espérance.

## 1.5 Système et Traitement du signal

Un signal est une fonction qui véhicule une information. Toute quantité pouvant varier dans l'espace ou dans le temps peut être utilisée comme signal pour partager des messages entre observateurs. Un signal peut également être défini comme tout changement observable d'une quantité dans l'espace ou dans le temps, même s'il ne contient pas d'information. De cette façon, n'importe quel système peut être appréhendé sous l'angle du traitement du signal. Lorsque le système est linéaire, on peut décrire un système par la fonction de transfert suivante :

$$Y(s) = H(s) X(s)$$

L'idée est de trouver l'expression de  $H(s)$ . Pour cela, on utilise ce que l'on appelle une réponse impulsionnelle, en effet, lorsqu'on applique une impulsion au système linéaire et invariant, la sortie est caractérisée entièrement par la fonction de transfert. Une manière de le voir est d'utiliser le produit de convolution  $y = u \hat{*} h$  et la propriété  $u(\cdot)\delta(\cdot) = u(0)\delta(\cdot)$ . Ainsi, la réponse est équivalente à la somme des contributions décalées en temps, tel que :

$$y(t) = \int_{-\infty}^{\infty} h(t - \tau)u(\tau)d\tau = \int_{-\infty}^{\infty} h(\tau)u(t - \tau)d\tau.$$

Dans le cas où l'on veut mesurer la diffusion décrite comme la mesure de la température d'un signal discret  $X[n]$ , on a la sortie qui est égale à l'expression de la dérivée temporelle  $Y[n] = (X[n] - X[n - 1])/T_e$  (doit respecter le critère d'échantillonnage de Shannon). Pour résoudre ce problème, on utilise ce que l'on appelle les Transformations en Z. Elle transforme un signal réel du domaine temporel en un signal représenté par une série complexe et appelé transformée en Z. En utilisant les formules usuelles, on a de cette façon :

$$H[z] = \frac{Y[z]}{X[z]} = \frac{1 - z^{-1}}{T_e}$$

La description d'un filtre se fait par l'analyse des pôles, c'est-à-dire, les valeurs pour lesquelles la fraction diverge. Trouver la transformation inverse de la réponse impulsionnelle nous permet de décrire ainsi complètement notre système.

```
[ ]: # H = scipy.signal.firwin()
      # freq = scipy.signal.freqz(b,a)
      # conv = scipy.signal.convolve()
      return H,freq,
```

La description précédente permet de déterminer les fréquences avec lesquelles la fonction de transfert "filtre" le signal d'entrée. Pour comprendre cela, nous allons résoudre le problème de diffusion et montrer que l'on peut décomposer n'importe quel signal en série de fonction trigonométrique, c'est-à-dire les séries de Fourier. Pour le cas d'un problème de diffusion, on a  $\partial_t T = \alpha \partial_{xx}^2 T$  et où l'on peut appliquer la séparation de variables  $T(x, t) = X(x)Y(t)$ . Ainsi, lorsqu'on intègre la forme différentielle, la solution s'écrit comme une somme infinie de fonction sinusoidale :

$$\frac{Y'(t)}{\alpha Y(t)} = \frac{X''(x)}{X(x)} T(x, t) = \sum_{n=1}^{+\infty} D_n \sin\left(\frac{n\pi x}{L}\right) e^{-\frac{n^2 \pi^2 \alpha t}{L^2}}$$

Ici  $D_n$  correspond aux différentes composante de diffusion en fonction des fréquences, soit l'amplitude des fréquence qui caractérise le système. Comme toute serie infinie,  $D_n$  peut avoir plusieurs valeurs, car on peut lui meme le décomposer en somme de fonction (Théorème convergence analytique), mais pour cela, il faut qu'il y est une équivalence entre la somme et la fonction. Pour cela, il faut que la sommes quadratique des coefficient de Fourier soit de carré sommable avec la fonction initiale, tel que :

$$\sum_{n=-\infty}^{+\infty} |c_n(f)|^2 = \frac{1}{T} \int_T |f(t)|^2 dt = \|f\|^2$$

La solution à ce probleme est de construire les coefficients de fourier comme l'integrale complexe maximisant l'inertie de la fonction à un frequence donnée par rapport au centre de masse. On parle alors d'harmonique d'un signal et s'ecrit sous la forme :

$$c_n(f) = \frac{1}{T} \int_T f(t) e^{-i2\pi \frac{n}{T} t} dt$$

Cela montre que n'importe quel fonction peut etre approché par une serie complexe, mais cela à partir d'un moment où elle est linéaire. Dans l'espace frequenciel, le produit de convolution devient une simple multiplication. Néanmoins, un probleme peut etre linéarisé par certaine astuce, il y a la méthodes du noyaux, mais une autre consiste à decouper l'espace en plusieurs morceaux avec des distances euclidiennes constante (cas 2D-3D). Ce cas s'applique particulièrement pour les courbe paramétré 2D quelquonque (exemple : Courbe de Bezier) formant des motifs ou les points n'ont pas le meme espacement.

```

[ ]: control1, control2,
end): inputs =
np.array([start,
control1, control2,
end]) cubic_bezier_matrix
= np.array([
[-1,
3, -3,
1], [ 3,
-6, 3,
0], [-3,
3, 0,
0], [ 1,
0, 0,
0] ]) partial
= cubic_bezier_matrix.dot(inputs)
return (lambda t:
np.array([t**3,
t**2,
t, 1]).dot(partial))

def linearize_2Dshape(X,
nb=1000):
# rolling X_ =
np.roll(X,1)
# euclidean dist sum dist =
np.linalg.norm(X_-X)
d = np.cumsum(dist)
# decomposition (x,y) to (r,x,y) r
= np.linspace(0,
d.max(),nb)
x = np.interp(r,
d, X[0])
y = np.interp(r,
d, X[1])
# new X return np.concatenate([r[None],x[None],y[None]])

def fourier_coeff(X,
N_series = 100):
# manual version (else fft) T
= X[0].max()
cf = [] #
construct for (x,y) for n in
range(N_series):
cf += [[sims(X[1]*np.exp(-1j*2*n*np.pi*X[0]/T)/T,
X[0]),
sims(X[2]*np.exp(-1j*2*n*np.pi*X[0]/T)/T,
X[0])]]
return np.array(cf)

def fourier_series(X):

```



Ces outils ouvre les portes de plein de problématique, on a d'abord les problématiques de filtrage et régulation/commandes. Ces 2 problématiques sont très différentes, mais fonctionnent par leurs utilisation de fonction de Transfert. On va voir brièvement 4 techniques qui utilisent ce concept : Les filtres passe-bande, les filtres de Kalman, les régulateurs PID et la commande LQ. Un filtre passe-bande est un filtre ne laissant passer qu'une bande ou intervalle de fréquences compris entre une fréquence de coupure basse et une fréquence de coupure haute du filtre. Pour appliquer un filtre, il suffit de faire le produit de convolution avec la sortie  $h' = h_b * h_s$ , avec  $h_s$  la fonction de transfert du système. La fonction de transfert d'un filtre passe-bande du second ordre s'écrit sous la forme :

$$h(jw) = \frac{A_0}{1 + j \cdot Q \cdot (x - \frac{1}{x})}$$

Le filtre de Kalman est un filtre récursif à réponse impulsionnelle infinie qui estime les états d'un système dynamique à partir d'une série de mesures incomplètes ou bruitées. L'algorithme utilise deux étapes, une étape de prédiction pour prédire le dernier état et une étape de correction qui utilise la mesure pour corriger l'état prédit. Il est nécessaire pour cela d'avoir une modélisation du système, pour l'équation différentielle de vitesse, on aurait  $X_t = X_{t-1} + v_{(x,t-1)} \cdot dt$ . On se retrouve avec plusieurs matrices à utiliser :

$$\hat{\mathbf{x}}_{k|k-1} = \mathbf{F}_k \hat{\mathbf{x}}_{k-1|k-1} + \mathbf{B}_k \mathbf{u}_k + \mathbf{w}_k \mathbf{P}_{k|k-1} = \mathbf{F}_k \mathbf{P}_{k-1|k-1} \mathbf{F}_k^T + \mathbf{Q}_k$$

Le régulateur PID, appelé aussi correcteur PID (proportionnel, intégral, dérivé) est un système de contrôle permettant d'améliorer les performances d'un asservissement, c'est-à-dire un système ou procédé en boucle fermée. Le correcteur doit être paramétré à la main et a pour but d'atteindre une valeur de consigne  $E(s)$  en minimisant l'erreur  $\epsilon(s)$ . Concrètement, c'est un algorithme qui délivre un signal de commande à partir de la différence entre la consigne et la mesure (l'erreur) et dont le but est de résoudre :

$$u(t) = K_p \epsilon(t) + K_i \int_0^t \epsilon(\tau) d\tau + K_d \frac{d\epsilon(t)}{dt}$$

En automatique, la Commande linéaire quadratique, dite Commande LQ, est une méthode qui permet de calculer la matrice de gains d'une commande par retour d'état. L'idée consiste à minimiser un critère de performance  $J$ , quadratique en l'état  $\mathbf{x}$  et la commande  $\mathbf{u}$ , et qui est une somme pondérée de l'énergie de  $\mathbf{x}$  et de celle de  $\mathbf{u}$ . Le but de la commande consiste, à la suite d'une perturbation, à ramener, de préférence aussi rapidement que possible, l'état à sa valeur d'équilibre 0. Un tel outil permet, si l'on connaît l'équation différentielle du système, contrôler sa position. Dans le cas d'un pendule double en équilibre, on aurait la solution vue précédemment, où l'on met en avant :

$$\dot{\mathbf{x}}(t) = \mathbf{A}(t)\mathbf{x}(t) + \mathbf{B}(t)\mathbf{u}(t) + \mathbf{v}(t)\mathbf{y}(t) = \mathbf{C}(t)\mathbf{x}(t) + \mathbf{w}(t)$$

```
[ ]: pass

def Kalman(X):
    pass

def PID(X):
    pass

def LQ_commande(X):
```

La notion de fonction de transfert nous permet d'une part, de trouver les equations qui caractérise le systeme s'ils sont linéaire et invariant, et d'autre part, nous permet de controler precisement la sortie de notre systeme si l'on connait les equations differentielle du systeme, qu'elle soit linéaire ou non. Le formalisme de fourier permet de valider une l'approche des fonctions de transfert par sa transformation inverse.

## 1.6 Décision et Potentiel

Lorsque les problèmes physiques et mathématiques sont difficile par l'utilisation des approches précédente, il est possible de passer par une méthodes probabiliste. Ces methodes probabiliste se base sur le theoreme de transfert qui dit que l'on peut estimer l'integrale de n'importe quel fonction à partir de l'esperance d'un fonction à variable aléatoire de loi  $X$ . Sa forme générale est la suivante :

$$\mathbb{E}[\varphi(X)] \stackrel{\text{d}\tilde{\mathbb{A}} \otimes \text{f.}}{=} \int_{\Omega} \varphi(X(\omega)) \mathbb{P}(d\omega) = \int_{\mathbb{R}} \varphi(x) \mathbb{P}_X(dx)$$

Cette approche probabiliste est tres utilisé en Physique statistique, en particulier avec statistique de Maxwell-Boltzmann (loi de probabilité) pour déterminer la répartition des particules entre différents niveaux d'énergie, c'est une des base de la théorie cinétique des gaz qu'on a vue en premiere partie, mais aussi pour le modèle d'Ising sur un réseau de moments magnétiques (ferromagnétisme). Numériquement, cette methodes de resolution se nomme l'algorithme de Monte-Carlo.

```
[ ]: a,b = border
# uniform X =
np.random.uniform(a,b,(N,dim))
# algo Y = []
for x in X
: Y += [f(X)]
Y = np.array(Y)
E = Y.sum()/dim
```

Avec cette méthodes on peut retrouver la dynamique d'un systeme physique, un exemple serait un chariot que l'on laisse tomber dans une vallée à plusieurs hauteurs aléatoire, on se retrouve ainsi avec des valeurs de position, de vitesse et de temps/coût pour atteindre un points fixe. Avec cela, on caracterise completement le systeme avec 3 parametre et l'on retrouve un portrait de phase par le calcul de l'esperance. La force de ce processus est que l'on peut ajouter des actions aléatoire

de décision discrete, dans le cas du chariot, aller à gauche ou à droite (2 action). Ces actions s'ajoutent à la fonction initiale et permettront de savoir les meilleures valeurs  $V^*$  pour atteindre un objectif donné (une hauteur spécifique) en fonction d'une transition d'états  $s \rightarrow s'$ . On obtient l'équation du gain suivant :

$$V^*(s) = \max_{a \in A} \sum_{s' \in S} [R(s, \pi(s), s') + \gamma V^*(s')] T(s, a, s')$$

Pour trouver les meilleures actions qui maximisent les valeurs  $V^*$ , on a besoin d'une fonction supplémentaire  $Q^*$  qui va prendre directement en compte les meilleurs choix des précédentes valeurs. Un tel outil permet de décrire n'importe quel problème discretisable sous forme de chaîne de Markov et où l'on peut savoir quels sont les actions les plus adaptées à l'état donné. Cette équation s'écrit :

$$Q^*(s, a) = \sum_{s' \in S} [R(s, a, s') + \gamma \max_{a' \in A} Q^*(s', a')] T(s, a, s')$$

```
[6]: min_value = 0,
step = 1):
discrete_state = (state-min_value)/step
return tuple(discrete_state.astype(np.int))

def q_table_construct(Ns,Na):
# Nb state, Nb action q_table
= np.random.uniform(low=-1,
high=1, size=(Ns,Na))
return q_table

def markov_decision(s,a,q_table,f,use=True):
# get values discrete_state
= discretise(s)
if use : action
= np.argmax(q[discrete_state])
else : action =
np.random.randint(Na)
# get action new_state,
reward, done,
info=f.step(action)
new_discrete_state = discretise(new_state)
# update Q(s,a) max_future_q
= np.max(q_table[new_discrete_state])
current_q = q_table[discrete_state][action]
new_q = (1-alpha)*current_q+alpha*(reward+gamma*max_future_q)
q_table[discrete_state][action]=new_q
# q and new s return q_table,
```

Le problème de décision se formule de manière imagée par le problème du bandit manchot (processus markovien à un seul état). Un utilisateur (un agent), face à des machines à sous, doit décider quelles

machines jouer. Chaque machine donne une récompense moyenne que l'utilisateur ne connaît pas a priori. L'objectif est de maximiser le gain cumulé de l'utilisateur. La politique de l'utilisateur oscille entre exploitation (utiliser la machine dont il a appris la récompense) et exploration (tester une autre machine pour espérer gagner plus). Formellement le regret s'exprime :

$$r_n = n\mu^* - \sum_{k=1}^n \mathbb{E}(\mu_{I_k})$$

Dans le cas où l'on ne prend en compte que l'exploitation, on a une politique gloutonne, où la fonction  $Q$  s'exprime simplement par  $Q(a') = Q(a) + (r_n - Q(a)) / N(a)$ . Néanmoins, si l'on veut que le problème converge plus rapidement, il est plus fréquent de trouver un dilemme entre l'exploration/exploitation pour trouver la valeur de l'espérance cohérente avec le théorème de transfert. Généralement, on commence avec 100% d'exploration, et au bout de 50%-70% de temps prévu de l'expérience, on reste stabilisé à 5-10% d'exploration de façon à perturber le système et de trouver des cas où le modèle n'avait pas encore estimé certaines vallées de stabilité.

```
[ ]: T): #
      probability if t <
      T/2 : p
      = np.random.choice([True,False],
      p=[t/(T/2),
      1-t/(T/2)])
      else : p = np.random.choice([True,False],
      p=[0.9,0.1])
      # for decision "use" return
```

Ce type d'outils est très fréquent aujourd'hui dans les problèmes d'apprentissage où l'on a pas de données d'entraînement, on parle d'apprentissage par renforcement. On le retrouve particulièrement couplé avec l'utilisation des réseaux de neurones où ces derniers fonctionnent comme estimateurs de l'espérance.

## 1.7 Conclusion

L'ensemble de ses outils vu ici sont pour aller plus en profondeur sur les illustrations intagram. Elle permettent d'avoir un aperçu de la physique des systèmes complexes (émergence, contrôle, structures, etc.), mais ne permettent pas de comprendre la physique plus moderne "quantique" et "relativité". Néanmoins elle permet de comprendre certains aspects de la physique du quotidien. Pour chaque partie, vous retrouverez des codes utilisant chacune des fonctions vues dans le notebook pour comprendre ce qu'ils font.

**Note :** c'est encore une feuille de note incomplète !